

# Электронные пары для ВТСП

А. Ф. Андреев<sup>1)</sup>

*Институт физических проблем им. П. Л. Капицы РАН 119334 Москва, Россия*

Поступила в редакцию 5 декабря 2003 г.

Предложена простая физическая картина сверхпроводимости предельно допированных плоскостей  $\text{CuO}_2$ , обладающая наблюдаемыми чертами ВТСП: высокой критической температурой,  $d_{x^2-y^2}$  симметрией параметра порядка, существованием одноэлектронной поверхности Ферми и БЭ-конденсата заранее сформированных пар электронов.

PACS: 74.20.-z

Наиболее характерными чертами высокотемпературных сверхпроводников, кроме высокой температуры перехода, являются необычная  $d$ -симметрия параметра порядка (см. [1]) и своеобразное существование хорошо выраженной одноэлектронной поверхности Ферми с явлением псевдощели [2], которое связывают с наличием заранее сформированных (то есть сформированных еще в нормальном состоянии) пар электронов, в частности, биполяров [3–7].

В настоящей работе показано, что существует простая физическая картина сверхпроводимости предельно допированных плоскостей  $\text{CuO}_2$  (вблизи максимальной совместимой со сверхпроводимостью степенью дырочного допирования), которая обладает перечисленными выше характерными чертами ВТСП.

**Парные квазичастицы.** Ключевым моментом является существование в кристаллах своеобразных “парных” квазичастиц в условиях применимости приближения сильной связи, то есть когда энергия взаимодействия электронов на межатомном расстоянии значительно превышает амплитуду туннелирования электрона в близкие узлы решетки. Такого типа квазичастицы ранее рассматривались [8] в квантовых кристаллах гелия и недавно Александровым и Корниловичем [6] как модель биполяров в ВТСП (см. также [9]).

Рассмотрим два электрона, локализованных на соседних (1 и 2 на рисунке) атомах меди (точнее, в элементарных ячейках, содержащих данные атомы), образующих в плоскости  $\text{CuO}_2$  квадратную решетку. Туннелирование электрона из 2 в 4 или 6 не меняет энергию системы в силу симметрии кристаллической решетки. То же самое имеет место при туннелировании электрона из 1 в 3 или 5. Благодаря переходам такого типа пара электронов может двигаться как целое по всей плоскости, поскольку после пере-

хода  $2 \rightarrow 4$  возможен переход  $1 \rightarrow 7$  или  $1 \rightarrow 3$  и т.д. Поскольку переходы не меняют энергии системы, движение является полностью когерентным. Пара электронов ведет себя как делокализованная бозе-квазичастица.

Для вычисления спектра квазичастиц рассмотрим локализованные состояния пары

$$|\mathbf{r}, \mathbf{r}', \alpha\beta\rangle = c_{\mathbf{r}\alpha}^+ c_{\mathbf{r}'\beta}^+ |0\rangle, \quad (1)$$

где  $c_{\mathbf{r}\alpha}^+$  – операторы рождения электрона в точке  $\mathbf{r}$  с проекцией спина  $\alpha = \uparrow, \downarrow$ , а  $|0\rangle$  – вакуум электронов.

Эффективный туннельный гамильтониан  $H_{\text{eff}}$  определяется теми матричными элементами оператора

$$H = t \sum_{\mathbf{r}\mathbf{r}'\alpha} c_{\mathbf{r}'\alpha}^+ c_{\mathbf{r}\alpha}, \quad (2)$$

которые соответствуют переходам одного из электронов на атомы меди, являющиеся следующими за ближайшими соседями первоначального атома, причем так, чтобы энергия системы двух электронов не изменилась. Здесь  $t$  – амплитуда туннелирования, которая, как известно (см. [1], стр. 1004), положительна.

Пусть  $\mathbf{a}_n$  ( $n = x, y$ ) – периоды квадратной решетки, направленные из точки 1 в точку 2, и из точки 1 в точку 4, соответственно. Имеем

$$\begin{aligned} H_{\text{eff}} |\mathbf{r}, \mathbf{r} + \mathbf{a}_x, \alpha\beta\rangle &= t(|\mathbf{r} + \mathbf{a}_x + \mathbf{a}_y, \mathbf{r} + \mathbf{a}_x, \alpha\beta\rangle + \\ &+ |\mathbf{r} + \mathbf{a}_x - \mathbf{a}_y, \mathbf{r} + \mathbf{a}_x, \alpha\beta\rangle + \\ &+ |\mathbf{r}, \mathbf{r} + \mathbf{a}_y, \alpha\beta\rangle + |\mathbf{r}, \mathbf{r} - \mathbf{a}_y, \alpha\beta\rangle) = \\ &= t(-|\mathbf{r} + \mathbf{a}_x, \mathbf{r} + \mathbf{a}_x + \mathbf{a}_y, \beta\alpha\rangle + \\ &+ |\mathbf{r} + \mathbf{a}_x - \mathbf{a}_y, \mathbf{r} + \mathbf{a}_x, \alpha\beta\rangle + \\ &+ |\mathbf{r}, \mathbf{r} + \mathbf{a}_y, \alpha\beta\rangle - |\mathbf{r} - \mathbf{a}_y, \mathbf{r}, \beta\alpha\rangle), \end{aligned} \quad (3)$$

где мы использовали антисимметрию величин (1) по аргументам  $(\mathbf{r}, \alpha)$  и  $(\mathbf{r}', \beta)$ . Аналогично

<sup>1)</sup>e-mail: andreev@kapitza.ras.ru

$$\begin{aligned} H_{\text{eff}} |\mathbf{r}, \mathbf{r} + \mathbf{a}_y, \alpha\beta\rangle = & t(-|\mathbf{r} + \mathbf{a}_y, \mathbf{r} + \mathbf{a}_x + \mathbf{a}_y, \beta\alpha\rangle + \\ & + |\mathbf{r} - \mathbf{a}_x + \mathbf{a}_y, \mathbf{r} + \mathbf{a}_y, \alpha\beta\rangle + \\ & + |\mathbf{r}, \mathbf{r} + \mathbf{a}_x, \alpha\beta\rangle - |\mathbf{r} - \mathbf{a}_x, \mathbf{r}, \beta\alpha\rangle). \end{aligned} \quad (4)$$

Полный набор локализованных состояний пары электронов определяется векторами состояний

$$|\mathbf{r}, n, \alpha\beta\rangle \equiv |\mathbf{r}, \mathbf{r} + \mathbf{a}_n, \alpha\beta\rangle, \quad (5)$$

где  $\mathbf{r}$  нумерует элементарные ячейки квадратной решетки.

Задача, очевидно, распадается на две независимые задачи отдельно для синглетных и триплетных пар, характеризующихся, соответственно, антисимметричными и симметричными по спиновым индексам  $\alpha, \beta$  величинами (5). Полагая, что искомые стационарные состояния пары являются суперпозициями локализованных состояний

$$\sum_{\mathbf{r}, n} \psi_{\alpha\beta}^{(n)} e^{i\mathbf{k}\mathbf{r}} |\mathbf{r}, n, \alpha\beta\rangle \quad (6)$$

с не зависящими от  $\mathbf{r}$  коэффициентами  $\psi_{\alpha\beta}^{(n)}$ , что соответствует определенному квазимпульсу  $\mathbf{k}$ , находим

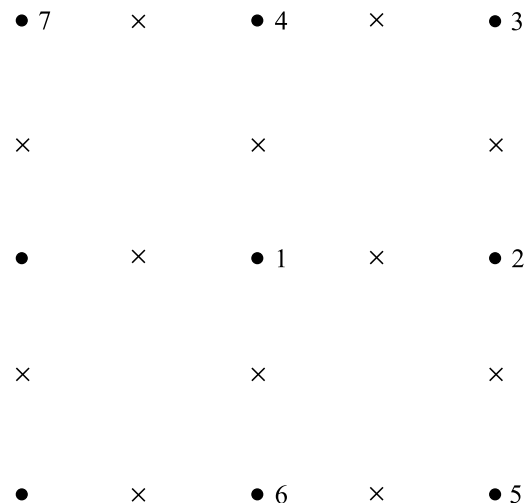
$$\begin{aligned} \epsilon(\mathbf{k})\psi^{(x)} &= t\psi^{(y)}(1 \pm e^{-i\kappa_x})(1 \pm e^{i\kappa_y}), \\ \epsilon(\mathbf{k})\psi^{(y)} &= t\psi^{(x)}(1 \pm e^{i\kappa_x})(1 \pm e^{-i\kappa_y}), \end{aligned} \quad (7)$$

где верхний или нижний знаки относятся, соответственно, к синглетному или триплетному состояниям. Условие существования нетривиального решения  $\psi^{(x)}, \psi^{(y)}$  системы (7) определяет энергию  $\epsilon(\mathbf{k})$  парной квазичастицы, отсчитанную от энергии  $\epsilon_0$  исходного локализованного состояния,  $\kappa_x = \mathbf{k}\mathbf{a}_x, \kappa_y = \mathbf{k}\mathbf{a}_y$ . Мы опустили в формулах (7) всюду одинаковые спиновые индексы  $\alpha\beta$ .

Минимальное значение  $\epsilon_m = -4t$  энергии синглетной пары достигается при  $\kappa_x = \kappa_y = 0$ . Такое же минимальное значение энергии триплетной пары достигается при ненулевом значении квазимпульса  $\kappa_x = \kappa_y = \pi$ . Это вырождение снимается при учете парного обмена электронов в исходной локализованной паре. Этот обмен, как известно, имеет антиферромагнитный характер, и, следовательно, минимальной энергией обладают синглетные пары.

Таким образом, в плоскости  $\text{CuO}_2$  могут существовать уединенные бозеовские квазичастицы, характеризующиеся двойным электрическим зарядом и имеющие в основном состоянии нулевые значения импульса и спина. Эффективная масса квазичастиц, как легко видеть из (7), равна  $m = \hbar^2/ta^2$ , где  $a = |\mathbf{a}_x| = |\mathbf{a}_y|$ . Кроме того, квазичастицы обладают специфическим квантовым числом  $n = x, y$ , определяющим ориентацию двухэлектронной “гандели”.

В основном состоянии, как это видно при подстановке  $\epsilon = \epsilon_m$  в (7), имеем  $\psi^{(x)} = -\psi^{(y)}$ . Поскольку ориентации  $n = x$  и  $n = y$  переходят друг в друга при повороте решетки на угол  $\pi/2$  и при отражении в диагональной плоскости, проходящей через точки 1 и 3 на рисунке, волновая функция  $\psi \equiv \psi^{(x)} = -\psi^{(y)}$  ква-



Плоскость  $\text{CuO}_2$ : ● – атомы Cu, × – атомы O

зичастиц в основном состоянии преобразуется по одномерному представлению группы симметрии плоскости  $\text{CuO}_2$ , обычно обозначаемому  $d_{x^2-y^2}$  (см. [1]).

**Сверхпроводимость.** Предположим далее, что все другие двух-, трех- и т.д. электронные конфигурации, локализованные на расстояниях порядка межатомного расстояния, энергетически невыгодны по сравнению с рассмотренной парной конфигурацией. Кроме того, предположим, что на больших расстояниях, таких, что энергия взаимодействия электронов порядка амплитуд одноэлектронного туннелирования, электроны отталкиваются. В этих условиях существенную роль играют лишь одноэлектронные ферми-квазичастицы и рассмотренные выше парные бозе-квазичастицы. Проведенный Александровым и Корниловичем [6] анализ показывает, что сформулированные выше условия являются, по-видимому, реалистичными.

Наконец, предположим, что минимальная энергия парной квазичастицы  $\epsilon_0 + \epsilon_m$  такова, что  $(1/2)(\epsilon_0 + \epsilon_m)$  находится внутри одноэлектронной энергетической зоны. В этом случае при  $T = 0$  при увеличении числа электронов (при уменьшении степени дырокного дипирования) до тех пор, пока  $(1/2)(\epsilon_0 + \epsilon_m) > \epsilon_F$ , имеются лишь одноэлектронные квазичастицы, и система ведет себя как обычная фермийская жидкость. Минимальная совместимая с состоянием

нормальной ферми-жидкости степень дырочного дипирования определяется условием  $(1/2)(\epsilon_0 + \epsilon_m) = \epsilon_F$ . Соответствующую плотность электронов  $n$  обозначим  $n_c$ . При дальнейшем уменьшении степени дырочного дипирования все добавочные электроны  $n - n_c$  (мы всюду рассматриваем случай достаточно малых  $n - n_c$ , когда концентрация пар мала, и можно пренебречь их взаимодействием) будут переходить в бозе-энштейновский конденсат (БЭ-конденсат) парных квазичастиц. Система становится сверхпроводником. Параметром порядка сверхпроводника является волновая функция  $\psi \equiv \psi^{(x)}$  основного состояния бозонов, нормированная условием  $|\psi|^2 = (n - n_c)/2$ ,  $\psi$  преобразуется по представлению  $d_{x^2-y^2}$  группы симметрии плоскости CuO<sub>2</sub>.

**Свойства сверхпроводника.** Важно отметить следующее. В основном состоянии системы (то есть при полном заполнении всех состояний фермионов с энергией, меньшей  $\epsilon_F$ ) неопределенность энергии бозонной квазичастицы с малой энергией возбуждения  $\epsilon = k^2/2m$ , обусловленная ее столкновениями с одноэлектронными квазичастицами Ландау, пропорциональна  $\epsilon^2$ . Как в обычной теории ферми-жидкости, это связано, во-первых, с тем, что мала плотность фермионов, соответствующих окрестности порядка  $\epsilon$  вблизи  $\epsilon_F$ , с которыми в силу сохранения энергии возможны столкновения рассматриваемого бозона. Во-вторых, мал статистический вес конечных состояний, в которые возможны переходы фермионов. Вероятность распада бозона на два фермиона в единицу времени также мала по сравнению с  $\epsilon$  из-за ограничений, накладываемых сохранением энергии и импульса. Таким образом, предлагаемая картина сверхпроводимости вблизи максимальной степени дырочного дипирования остается справедливой при учете взаимодействия бозонов с фермионами даже при не малой плотности последних. Критическая концентрация электронов  $n_c$  определяется условием равенства химического потенциала электронов половине минимальной энергии бозонов. Последняя в общем случае является функционалом от функции распределения одноэлектронных квазичастиц Ландау.

При вычислении температуры сверхпроводящего перехода функцию распределения фермионов можно считать соответствующей  $T = 0$ , так как пропорциональные  $T^2$  температурные поправки к термодинамическим функциям ферми-жидкости значительно меньше поправок, учитываемых ниже.

Плотность надконденсатных бозонов при конечной температуре  $T < T_c$  равна

$$N' = \int \frac{2\pi k dk}{(2\pi\hbar)^2} \frac{1}{e^{\epsilon/T} - 1} = \frac{mT}{2\pi\hbar^2} \ln \frac{T}{\tau}. \quad (8)$$

Интеграл в (8) расходится при малых  $\epsilon$ , и он обрезан при  $\epsilon \sim \tau$ , где  $\tau$  – малая амплитуда туннелирования пары электронов в направлении, перпендикулярном плоскости CuO<sub>2</sub>.

Избыточное число электронов  $n - n_c$  в системе равно удвоенной сумме  $N'$  и числа бозонов в конденсате  $N_0$ . Отсюда находим зависимость критической температуры от степени дипирования при малых  $n - n_c$ :

$$n - n_c = \frac{mT_c}{\pi\hbar^2} \ln \frac{T_c}{\tau} \quad (9)$$

и число пар в конденсате

$$N_0 = \frac{n - n_c}{2} \left( 1 - \frac{T}{T_c} \frac{\ln T/\tau}{\ln T_c/\tau} \right), \quad (10)$$

определенное модуль параметра порядка  $|\psi|^2 = N_0$  при конечных температурах. Определяемая формулой (9) критическая температура весьма высока. С точностью до логарифма, на границе области применимости, то есть при  $n - n_c \sim a^{-2}$ , она порядка амплитуды  $t$  одноэлектронного туннелирования. Возможность критической температуры такого порядка отмечалась в цитированной выше работе Александрова и Корниловича [6].

Взаимодействие фермионов с БЭ-конденсатом (эффективное электрон-электронное взаимодействие), описываемым параметром порядка  $\psi$ , порождает эффективный потенциал  $\Delta_{\mathbf{k}}$ , действующий на фермионы так же, как в обычных сверхпроводниках:

$$H_{int} = \sum_{\mathbf{k}} (\Delta_{\mathbf{k}} c_{\mathbf{k}\uparrow}^+ c_{-\mathbf{k}\downarrow}^+ + h.c.). \quad (11)$$

В силу симметрии  $\psi$  имеем

$$\Delta_{\mathbf{k}} = V(\hat{k}_x^2 - \hat{k}_y^2)\psi, \quad (12)$$

где  $\hat{\mathbf{k}} = \mathbf{k}/|\mathbf{k}|$ ,  $V$  – инвариантная константа взаимодействия.

Благодаря такому взаимодействию фермионы в рассматриваемом сверхпроводящем состоянии приобретают черты, характерные для обычного сверхпроводника с симметрией  $d_{x^2-y^2}$ .

Полное число пар при  $T < T_c$  не зависит от температуры и равно  $(n - n_c)/2$ . При повышении температуры в нормальном состоянии,  $T > T_c$ , число пар сначала убывает пропорционально  $\ln T_c/(T - T_c)$  при  $\tau \ll T - T_c \ll T_c$ , а затем возрастает при  $T_c \ll T \ll t$  пропорционально  $T$ .

Работа была поддержана грантами INTAS # 01-686, CRDF # RP1-2411-MO-02, Leverhulme Trust

# S-00261-H, Российского фонда фундаментальных исследований, грант # 03-02-16401 и президентской программой поддержки ведущих научных школ.

- 
1. C. C. Tsuei and J. R. Kirtley, Rev. Mod. Phys. **72**, 969 (2000).
  2. T. Timusk and B. Statt, Rep. Prog. Phys. **62**, 61 (1999).
  3. A. S. Alexandrov, Phys. Rev. **B48**, 10571 (1993).
  4. V. Emery and S. Kivelson, Phys. Rev. Lett. **74**, 3253 (1995); Nature **374**, 434 (1995).
  5. V. B. Geshkenbein, L. B. Ioffe, and A. I. Larkin, Phys. Rev. **B55**, 3173 (1997).
  6. A. S. Alexandrov and P. E. Kornilovitch, J. Superconductivity **15**, 403 (2002).
  7. T. Domanski and J. Ranninger, Physica **C387**, 77 (2003).
  8. A. F. Andreev, *Quantum Crystals*, in: Progress in Low Temperature Physics, Vol. VIII, Ed. D. F. Brewer, North Holland, 1982, § 4.4.
  9. K. P. Sinha, Ind. J. Phys. **35**, 434 (1961).